

# 电磁场数值计算

---

邢庆子

**Tel:** 62781684(o), 13661226717

**E-mail:** [xqz@tsinghua.edu.cn](mailto:xqz@tsinghua.edu.cn)

清华大学工物系加速器实验室 刘卿楼**309**



### 上节内容

#### 2.4 边界条件与边值关系的离散化

2.4.1 第一类边界条件的差分离散

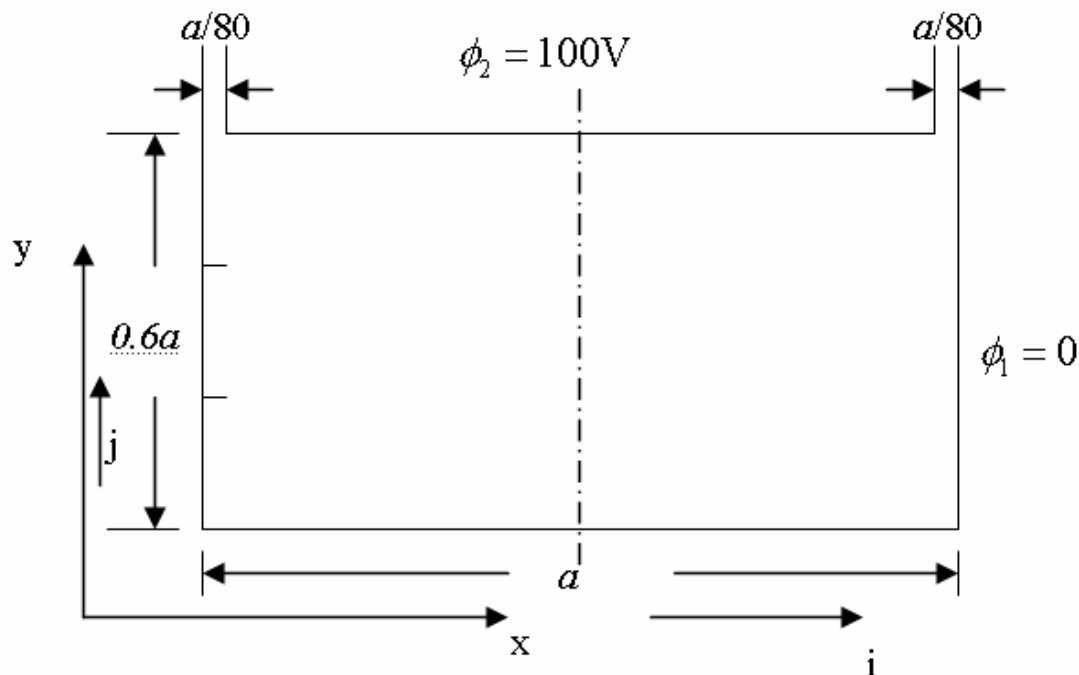
2.4.2 第二类边界条件的差分离散

2.4.3 不同媒质交界面上的差分离散

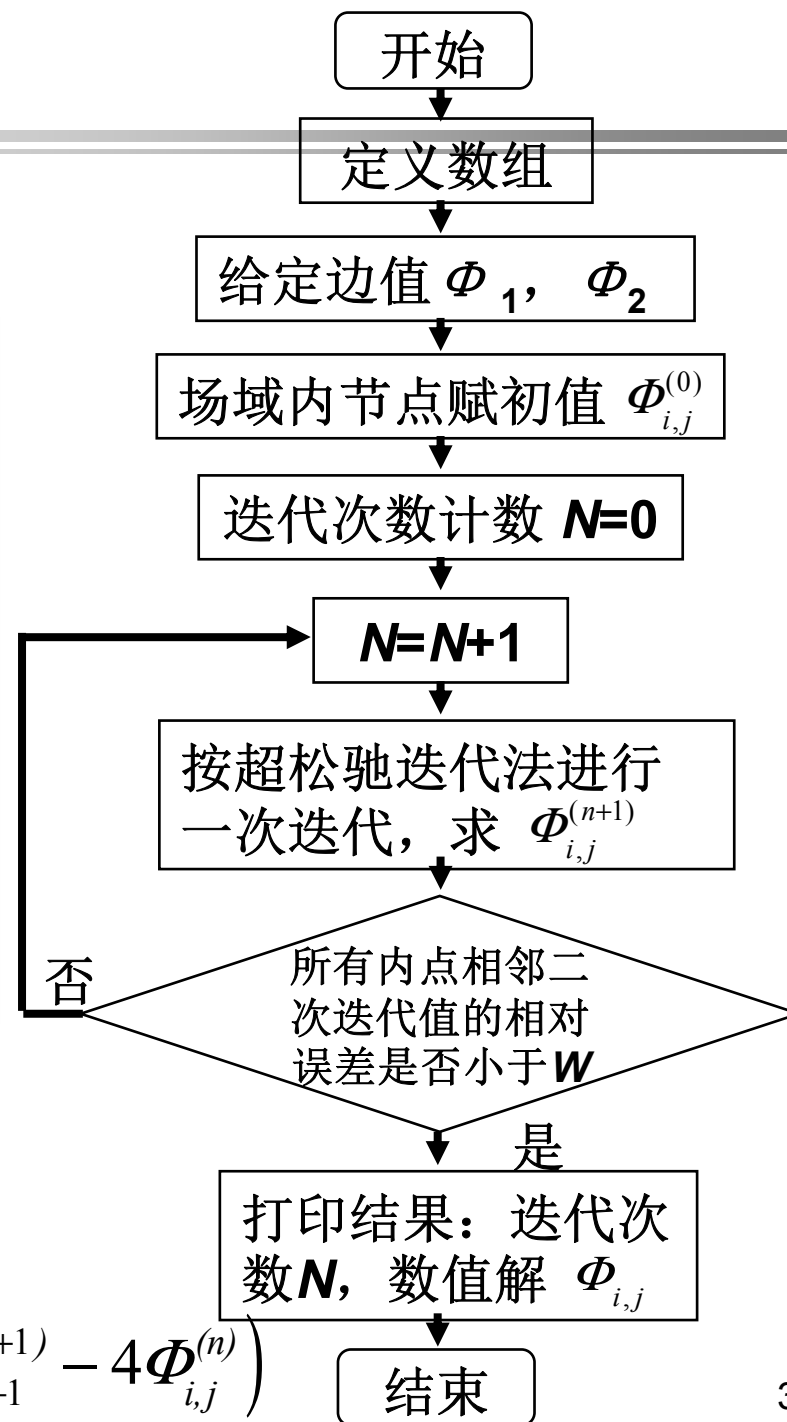
2.4.4 对称线的差分离散格式

#### 2.5 差分方程求解实例

## 2.5 差分方程求解实例



长接地金属槽二维问题求解



$$\Phi_{i,j}^{(n+1)} = \Phi_{i,j}^{(n)} + \frac{\alpha}{4} \left( \Phi_{i+1,j}^{(n)} + \Phi_{i,j+1}^{(n)} + \Phi_{i-1,j}^{(n+1)} + \Phi_{i,j-1}^{(n+1)} - 4\Phi_{i,j}^{(n)} \right)$$



### 本节内容

**2.6 准泊松方程的差分离散格式**

**2.7 非线性代数方程组的解法**

**2.8 场强与电磁积分量的计算**

**2.9 时变电磁场的差分格式**



### 2.9 时变电磁场的差分格式

#### 2.9.1 时变电磁场方程

#### 2.9.2 边界条件

#### 2.9.3 差分格式

#### 2.9.4 本征值 $\beta$ 的计算

#### 2.9.5 谐振腔的计算

#### 2.9.6 谐振腔参数的计算



### 2.9 时变电磁场的差分格式

#### 2.9.1 时变电磁场方程

矢量波动方程：

$$\begin{cases} \nabla^2 \mathbf{H} = -\omega^2 \mu \epsilon \mathbf{H} \\ \nabla^2 \mathbf{E} = -\omega^2 \mu \epsilon \mathbf{E} \end{cases}$$

波导问题的求解均可归结为求解相应的场的纵向分量  $\mathbf{H}_z$  或  $\mathbf{E}_z$  (用  $\Phi$  标记) 所描述的定解问题：

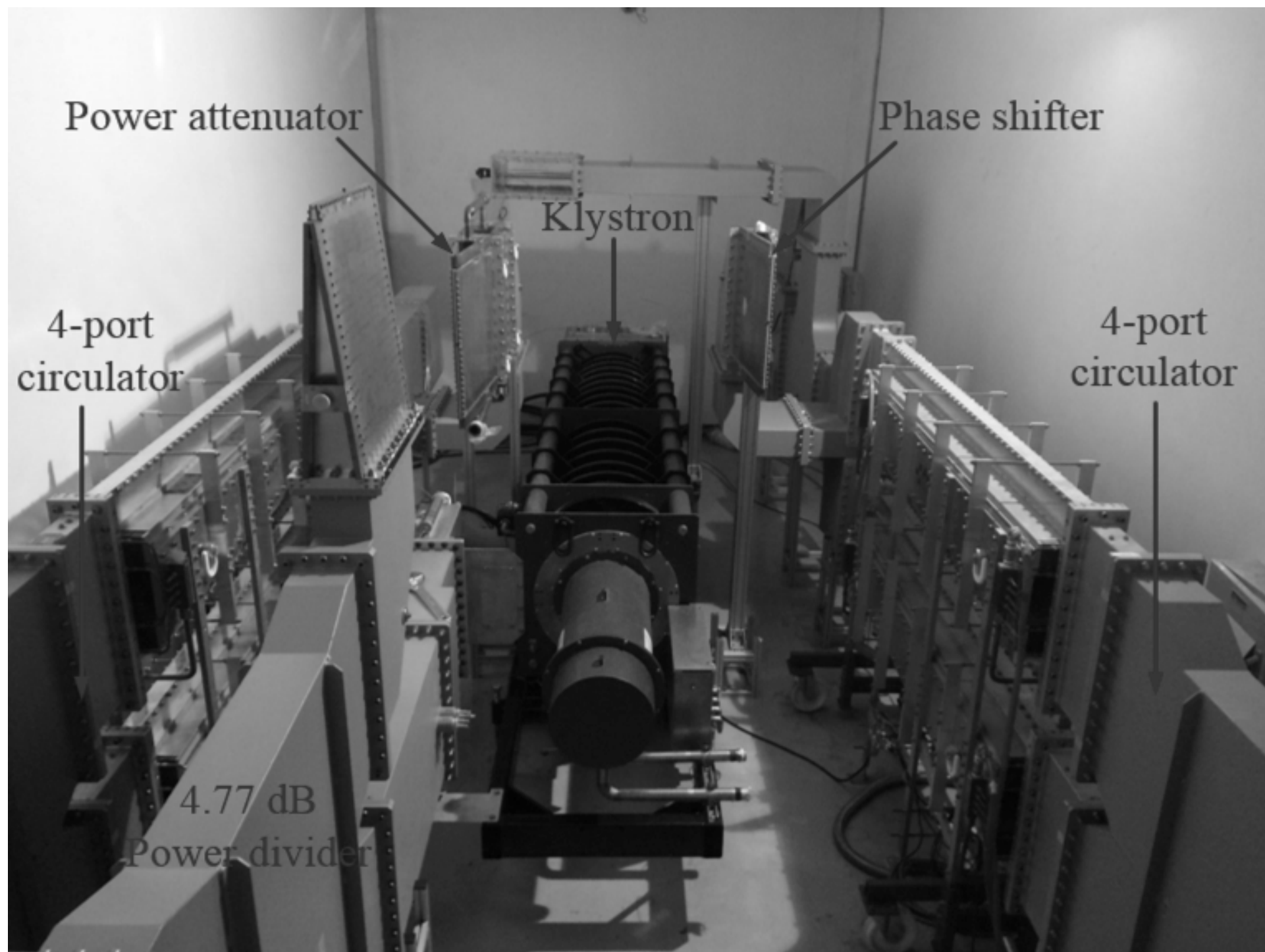
$$\frac{\partial^2 \Phi}{\partial x^2} + \frac{\partial^2 \Phi}{\partial y^2} + k^2 \Phi = 0$$

#### 2.9.2 边界条件

对于不同的波型有不同的边界条件。

对 TM 波有：  $\Phi|_L = 0$       对 TE 波有：  $\left. \frac{\partial \Phi}{\partial n} \right|_L = 0$

- 1) 波导壁电导率无穷大
- 2) 波导内介质线性均匀、各向同性
- 3) 无源 (  $\rho=0$ ;  $J=0$  )
- 4) 截面均匀
- 5) 无反射波



Power attenuator

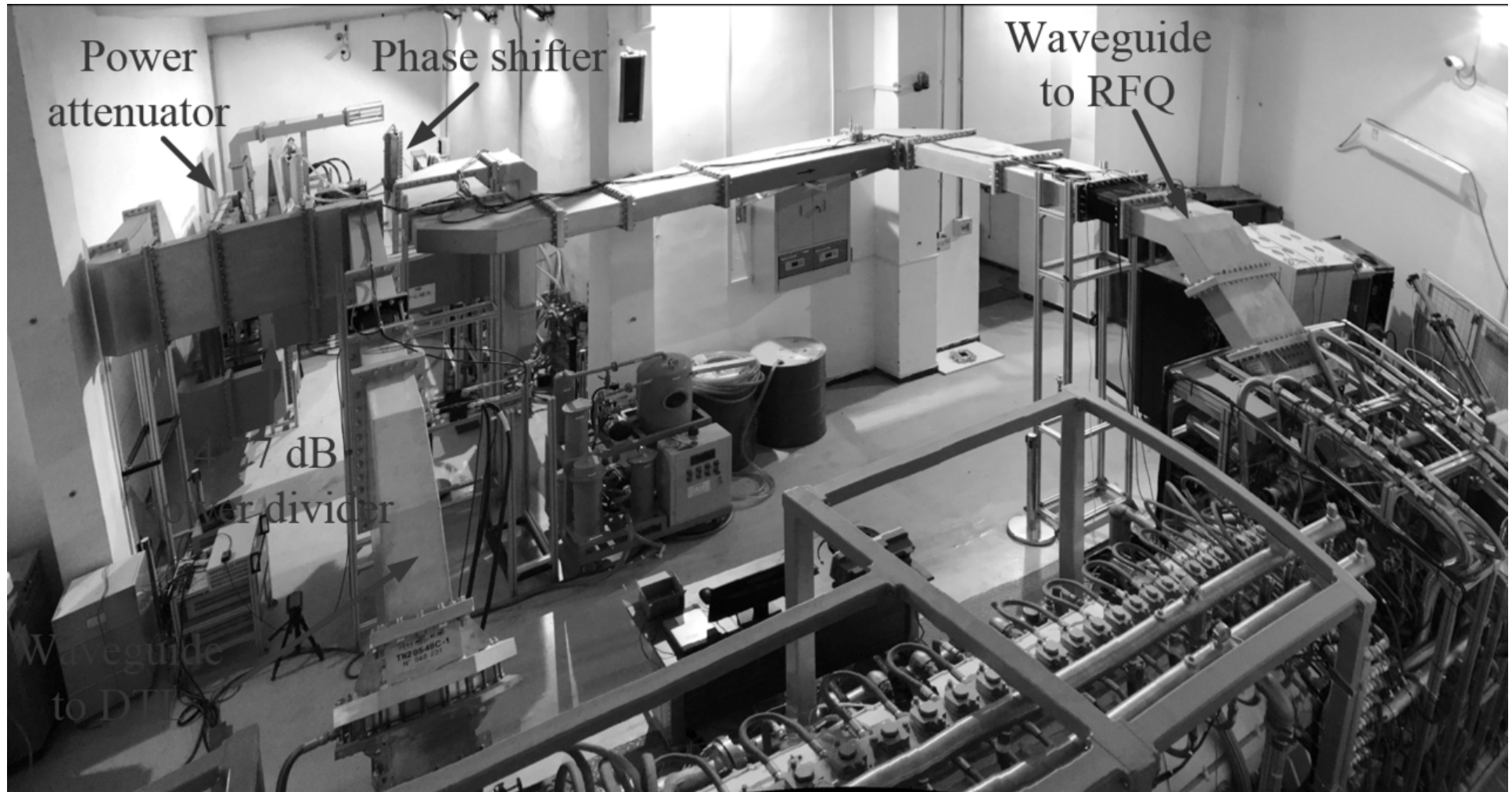
Phase shifter

Klystron

4-port  
circulator

4-port  
circulator

4.77 dB  
Power divider







## 2.9 时变电磁场的差分格式

### 2.9.3 差分格式

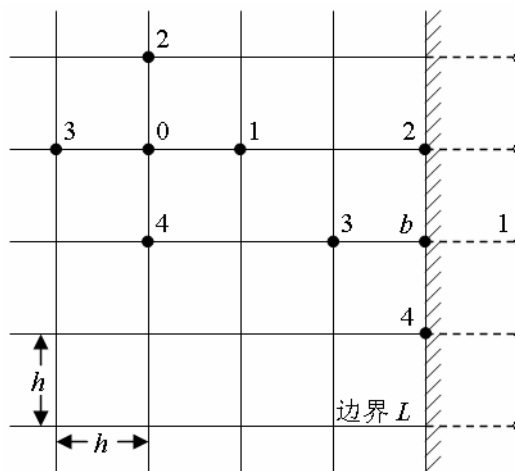
$$2 \left[ \frac{\Phi_1}{p(p+r)} + \frac{\Phi_2}{q(q+s)} + \frac{\Phi_3}{r(p+r)} + \frac{\Phi_4}{s(q+s)} - \left( \frac{1}{pr} + \frac{1}{qs} \right) \Phi_0 \right] + k^2 h^2 \Phi_0 = 0$$

等距网格情况:  $\Phi_1 + \Phi_2 + \Phi_3 + \Phi_4 - (4 - k^2 h^2) \Phi_0 = 0$

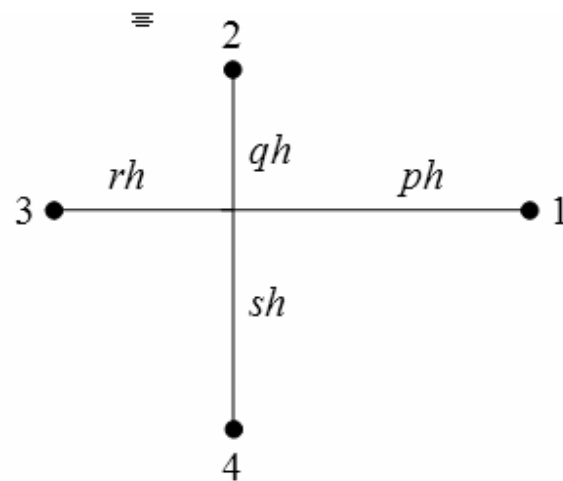
边界处理(网格线  
与边界重合):

对 TE 波:

$$\Phi_2 + \Phi_4 + 2\Phi_3 - 4\Phi_0 + (kh)^2 \Phi_0 = 0$$



网格线与边界重合



网格划分

对 TM 波:  $\Phi_{hi} = 0$

构成差分方程组:  $K\Phi = \beta\Phi$  其中  $\beta = (kh)^2$



## 2.9 时变电磁场的差分格式

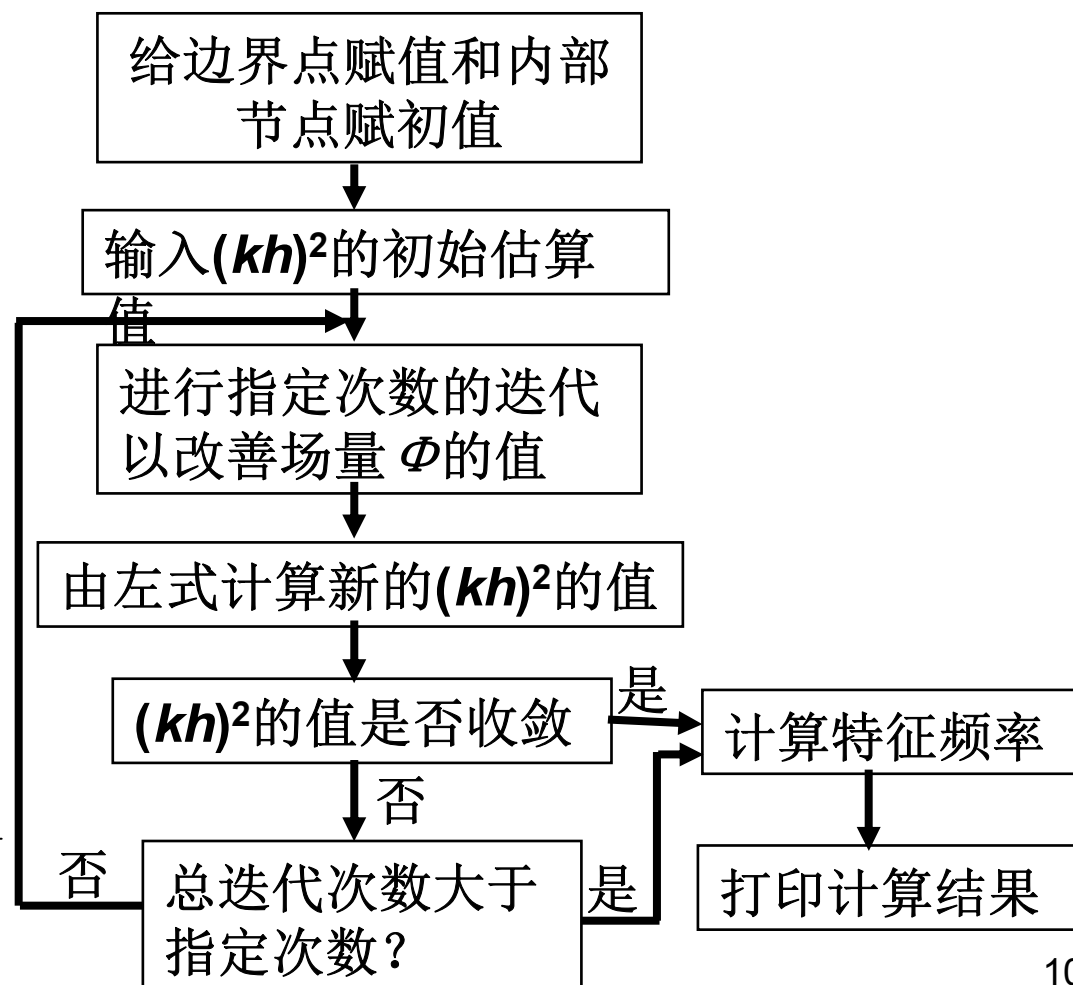
### 2.9.4 本征值 $\beta$ 的计算

求波导中电磁场的问题，实质上是一个求解本征值及其对应的本征函数  $\Phi$  的问题。

$$\frac{\partial^2 \Phi}{\partial x^2} + \frac{\partial^2 \Phi}{\partial y^2} + k^2 \Phi = 0$$

$$k^2 = \frac{-\int_S \Phi \nabla_s^2 \Phi dS}{\int_S \Phi^2 dS}$$

$$k^2 h^2 = \frac{-\sum_{i,j} \Phi_{i,j} (\Phi_{i,j-1} + \Phi_{i,j+1} + \Phi_{i-1,j} + \Phi_{i+1,j} - 4\Phi_{i,j}) \Delta S_{i,j}}{\sum_{i,j} \Phi_{i,j}^2 \Delta S_{i,j}}$$





## 2.9 时变电磁场的差分格式

### 2.9.5 谐振腔的计算

所研究的腔相对  $z$  轴是旋转对称的，相对中心平面也是对称的，因而只需计算1/4剖面。我们感兴趣的是 $\text{TM}_{010}$ 模式，它的电场  $E$  只有径向  $r$  分量和轴向  $z$  的分量，磁场  $H$  只有辐向  $\Phi$  分量。

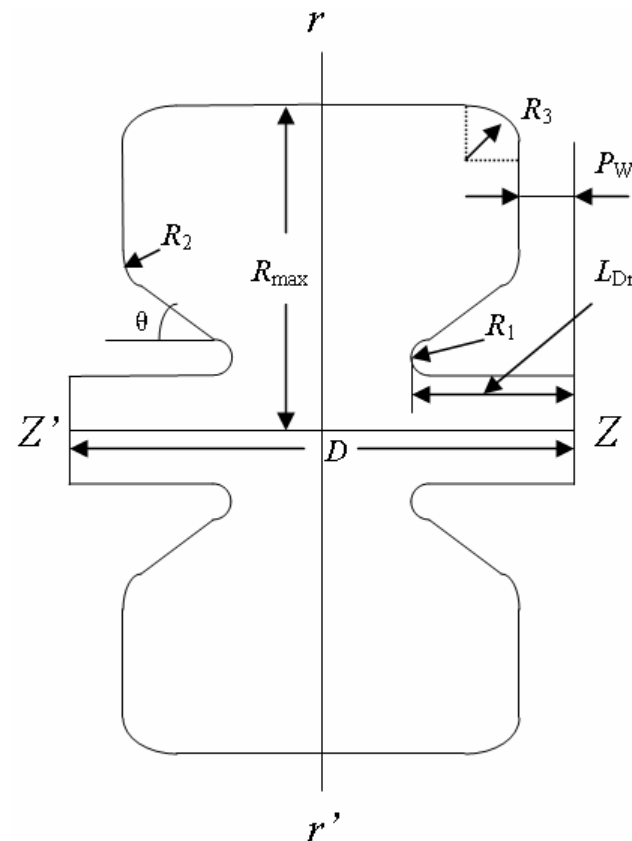
$$\frac{1}{r} \frac{\partial}{\partial r} \left( r \frac{\partial H_{\Phi}}{\partial r} \right) - \frac{H_{\Phi}}{r^2} + \frac{\partial^2 H_{\Phi}}{\partial z^2} + \varepsilon_0 \mu \omega^2 H_{\Phi} = 0$$

$$\xrightarrow{F = rH_{\Phi}} \frac{\partial^2 F}{\partial r^2} - \frac{1}{r} \frac{\partial F}{\partial r} + \frac{\partial^2 F}{\partial z^2} + k^2 F = 0 \xrightarrow{\quad}$$

$$\frac{F_1 + F_3 - 2F_0}{h^2} + \frac{F_2 + F_4 - 2F_0}{h^2} - \frac{1}{2j} \frac{1}{h^2} (F_2 - F_4) + k^2 F_0 = 0$$

边界条件：  $\partial F / \partial n = 0$  在导体壁和对称面上

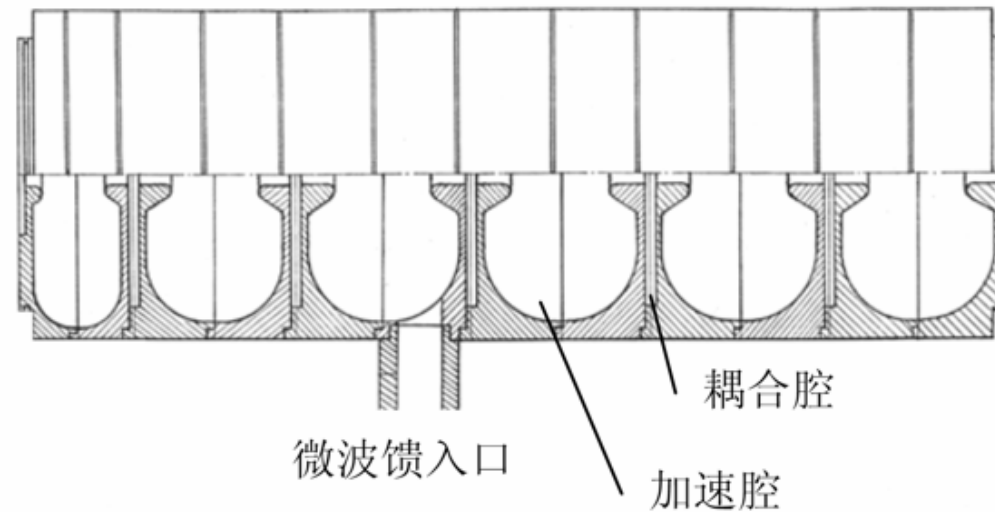
$F = 0$  在轴上和两腔交界面上



谐振腔形状说明



## 2.9 时变电磁场的差分格式



9 MeV驻波加速管



## 2.9 时变电磁场的差分格式

---

### 2.9.6 谐振腔参数的计算

#### 1. 电参数

- (1) 谐振频率
- (2) 场分量

#### 2. 微波参量

- (1) 储能  $W_H$
- (2) 功率损耗  $P_d$
- (3) 无载品质因数  $Q_0$

#### 3. 沿轴的最大电压 $V$

#### 4. 渡越时间因子 $T$

#### 5. 单位长度上的分流阻抗 $Z$

#### 6. 单位长度上的有效阻抗 $ZT^2$

#### 7. 沿腔体金属内表面的电场强度 $E_n(l)$



### 2.6 准泊松方程的差分离散格式

在铁磁材料媒质中，当  $B$  较大时，必然出现饱和效应，此时  $\mu$  不是常数，而是  $B$  的函数。

$\mu \neq$  常数时的泊松方程，称为准泊松方程。

$\mu \neq$  常数时，在二维直角坐标系中矢量磁位  $A$  满足的方程为：

$$\frac{\partial}{\partial x} \left( \frac{1}{\mu} \frac{\partial A}{\partial x} \right) + \frac{\partial}{\partial y} \left( \frac{1}{\mu} \frac{\partial A}{\partial y} \right) = -J$$

$$\text{即} \quad \frac{\partial^2 A}{\partial x^2} + \frac{\partial^2 A}{\partial y^2} - \frac{1}{\mu} \left( \frac{\partial \mu}{\partial x} \frac{\partial A}{\partial x} + \frac{\partial \mu}{\partial y} \frac{\partial A}{\partial y} \right) = -\mu J \quad \text{在磁介质中 } J=0。$$

可采用泰勒级数法，或积分方程法导出此方程的有限差分方程。

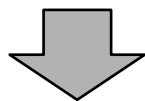


## 2.6 准泊松方程的差分离散格式

令磁阻率  $\gamma = \frac{1}{\mu}$ , 则 
$$\frac{\partial^2 A}{\partial x^2} + \frac{\partial^2 A}{\partial y^2} + \frac{1}{\gamma} \left( \frac{\partial \gamma}{\partial x} \frac{\partial A}{\partial x} + \frac{\partial \gamma}{\partial y} \frac{\partial A}{\partial y} \right) = 0$$

### 2.6.1 泰勒级数法离散化

磁介质中：
$$\frac{\partial^2 A}{\partial x^2} + \frac{\partial^2 A}{\partial y^2} - \frac{1}{\mu} \left( \frac{\partial \mu}{\partial x} \frac{\partial A}{\partial x} + \frac{\partial \mu}{\partial y} \frac{\partial A}{\partial y} \right) = 0$$



$$A_1 + A_2 + A_3 + A_4 - 4A_0 - \frac{1}{4\mu_0} [(A_1 - A_3)(\mu_1 - \mu_3) + (A_2 - A_4)(\mu_2 - \mu_4)] = 0$$

或：
$$A_1 + A_2 + A_3 + A_4 - 4A_0 + \frac{1}{4\gamma_0} [(A_1 - A_3)(\gamma_1 - \gamma_3) + (A_2 - A_4)(\gamma_2 - \gamma_4)] = 0$$

两个迭代过程：

$$A_{ij}^{(0)} \quad \mu_{ij}^{(0)} \Rightarrow A_{ij}^{(1)} \Rightarrow B_{ij}^{(1)} \Rightarrow \mu_{ij}^{(1)} \Rightarrow A_{ij}^{(2)} \Rightarrow B_{ij}^{(2)} \Rightarrow \mu_{ij}^{(2)} \Rightarrow \dots\dots$$



## 2.6 准泊松方程的差分离散格式

---

### 2.6.2 积分法离散化

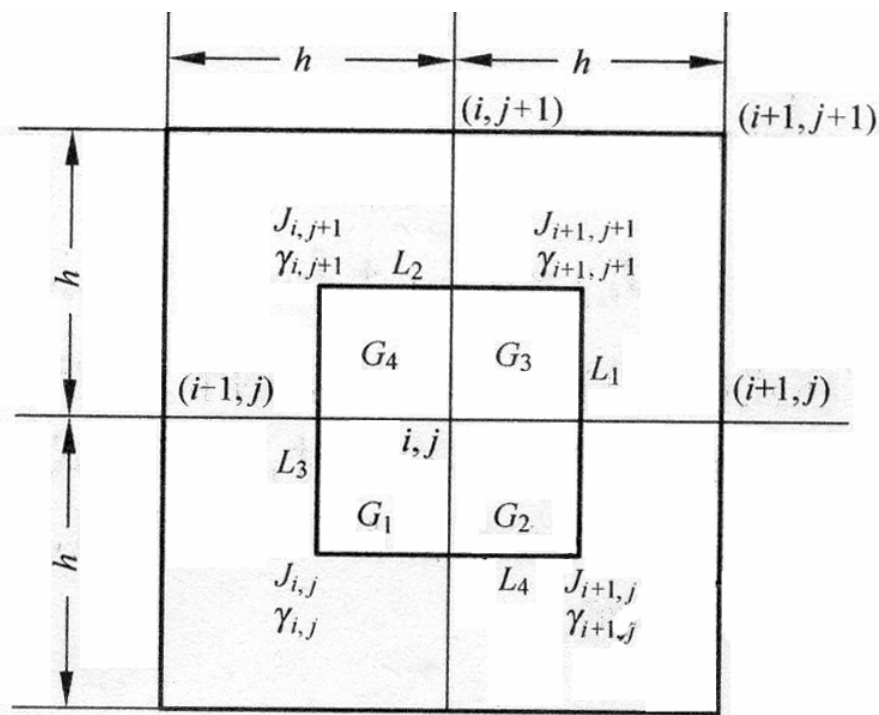
积分法离散是从泊松方程出发，把场的微分方程还原为积分形式，转化为安培环路定律，将公式离散并求出差分格式。





## 2.6 准泊松方程的差分离散格式

- 节点  $(i,j)$  : 对应网眼  $G_{i,j}$  , 网眼边界为  $L_{i,j}$ ;
- 对应每个网眼, 均满足公式: 
$$\frac{\partial}{\partial x} \left( \gamma \frac{\partial A}{\partial x} \right) + \frac{\partial}{\partial y} \left( \gamma \frac{\partial A}{\partial y} \right) = -J$$



在区域  $G_{i,j}$  , 对上面准泊松方程等式两边进行二重积分:

$$\begin{aligned} & \iint_{G_{i,j}} \left( \frac{\partial}{\partial x} \left( \gamma \frac{\partial A}{\partial x} \right) + \frac{\partial}{\partial y} \left( \gamma \frac{\partial A}{\partial y} \right) \right) dx dy \\ &= - \iint_{G_{i,j}} J dx dy \end{aligned}$$

图 2.17 积分法离散格式



## 2.6 准泊松方程的差分离散格式

$$\iint_{G_{i,j}} \left( \frac{\partial}{\partial x} \left( \gamma \frac{\partial A}{\partial x} \right) + \frac{\partial}{\partial y} \left( \gamma \frac{\partial A}{\partial y} \right) \right) dx dy = - \iint_{G_{i,j}} J dx dy$$

根据格林公式：  $\iint_D \left( \frac{\partial P}{\partial x} - \frac{\partial Q}{\partial y} \right) dx dy = \oint_L (Q dx + P dy)$

令：  $P = \gamma \frac{\partial A}{\partial x}$   $Q = -\gamma \frac{\partial A}{\partial y}$ ，则对于每个网眼  $G_{i,j}$  可以得到

$$\begin{aligned} \iint_{G_{i,j}} \left( \frac{\partial}{\partial x} \left( \gamma \frac{\partial A}{\partial x} \right) + \frac{\partial}{\partial y} \left( \gamma \frac{\partial A}{\partial y} \right) \right) dx dy &= \oint_{L_{i,j}} \left( \gamma \frac{\partial A}{\partial x} dy - \gamma \frac{\partial A}{\partial y} dx \right) \\ &= - \iint_{G_{i,j}} J dx dy \end{aligned}$$

即  $\boxed{\oint_{L_{i,j}} \gamma \frac{\partial A}{\partial n} dl = - \iint_{G_{i,j}} J dx dy} \Rightarrow \oint_{L_{i,j}} (-H_y dy - H_x dx) = - \iint_{G_{i,j}} J dx dy$



## 2.6 准泊松方程的差分离散格式

- 近似认为每个网格内的函数相同，用该网格右上角节点编号做下标；
- 规定法线方向与坐标方向一致时为正方向。

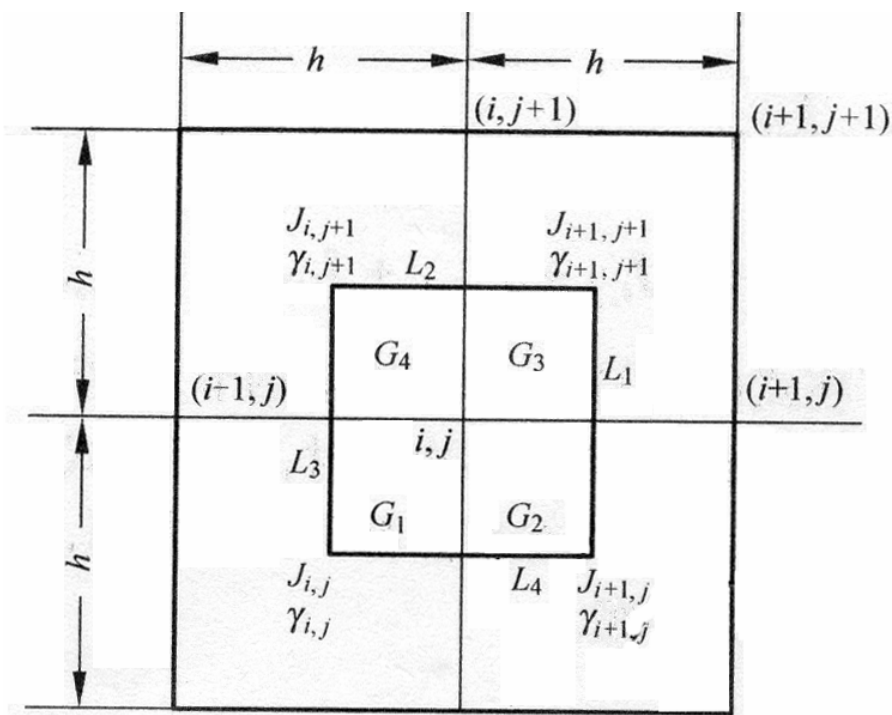


图 2.17 积分法离散格式

$$\begin{aligned}
 \oint_{L_{i,j}} \gamma \frac{\partial A}{\partial n} dl &= \int_{L_1} \gamma \frac{\partial A}{\partial n} dl + \int_{L_2} \gamma \frac{\partial A}{\partial n} dl \\
 &\quad + \int_{L_3} \gamma \frac{\partial A}{\partial n} dl + \int_{L_4} \gamma \frac{\partial A}{\partial n} dl \\
 &= \frac{A_{i+1,j} - A_{i,j}}{h} \frac{1}{2} (\gamma_{i+1,j} h + \gamma_{i+1,j+1} h) + \\
 &\quad \frac{A_{i,j+1} - A_{i,j}}{h} \frac{1}{2} (\gamma_{i+1,j+1} h + \gamma_{i,j+1} h) + \\
 &\quad \frac{A_{i-1,j} - A_{i,j}}{h} \frac{1}{2} (\gamma_{i,j+1} h + \gamma_{i,j} h) + \\
 &\quad \frac{A_{i,j-1} - A_{i,j}}{h} \frac{1}{2} (\gamma_{i,j} h + \gamma_{i+1,j} h)
 \end{aligned}$$

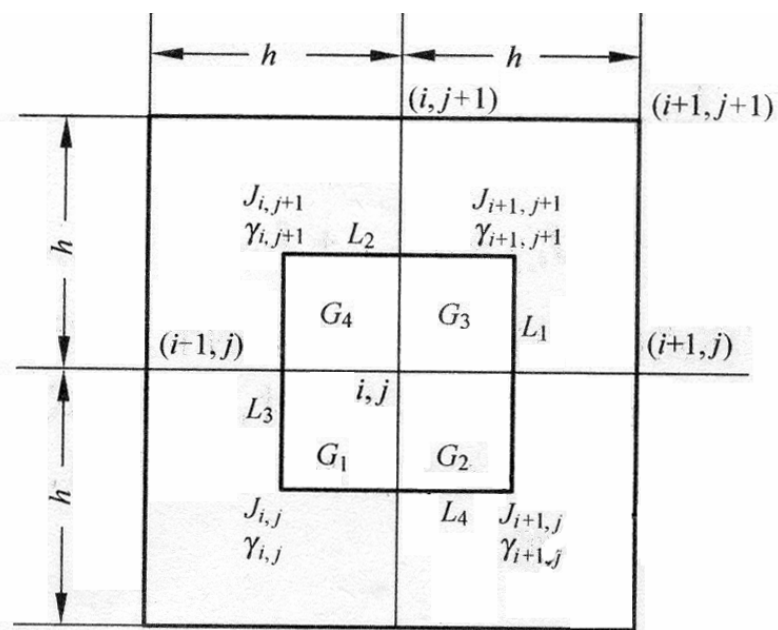


## 2.6 准泊松方程的差分离散格式

$\oint_{L_{i,j}} \gamma \frac{\partial A}{\partial n} dl = - \iint_{G_{i,j}} J dx dy$  的右端:

$$\iint_{G_{i,j}} J dx dy = \frac{1}{4} h^2 (J_{i,j} + J_{i,j+1} + J_{i+1,j} + J_{i+1,j+1})$$

最后可得到准泊松方程的差分格式为:



$$\begin{aligned} & \frac{1}{2}(\gamma_{i+1,j} + \gamma_{i+1,j+1}) A_{i+1,j} + \frac{1}{2}(\gamma_{i+1,j+1} + \gamma_{i,j+1}) A_{i,j+1} + \\ & \frac{1}{2}(\gamma_{i,j+1} + \gamma_{i,j}) A_{i-1,j} + \frac{1}{2}(\gamma_{i,j} + \gamma_{i+1,j}) A_{i,j-1} - \\ & (\gamma_{ij} + \gamma_{i,j+1} + \gamma_{i+1,j+1} + \gamma_{i+1,j}) A_{ij} \\ & = -\frac{1}{4} h^2 (J_{i,j} + J_{i,j+1} + J_{i+1,j} + J_{i+1,j+1}) \end{aligned}$$

图 2.17 积分法离散格式



## 2.6 准泊松方程的差分离散格式

---

- 边界条件的处理

1) 第一类边界：节点参数已知；

2) 第二类边界：可由下式导出差分格式。

$$\oint_{L_{i,j}} \gamma \frac{\partial A}{\partial n} dl = - \iint_{G_{i,j}} J dx dy$$



## 2.6 准泊松方程的差分离散格式

---

讨论：

1) 在轴对称稳定场中用矢量位  $A$  求解时，非线性差分方程如何用积分法导出？

2) 利用积分法离散，为什么可以不考虑媒质交界面的存在？



### 2.7 非线性代数方程组的解法

- 非线性方程组的产生： $\mu = \frac{B}{H(B)}$

- 非线性方程组的求解：“逐次线性化”

1) 首先视磁阻系数  $\gamma$  为一常数，使方程转化为线性代数方程组，求出此方程组的解；

2) 求出  $B$ ，根据  $B(H)$  曲线，求出场域内各点相应的  $\gamma$ ；

3) 按  $\gamma$  调整方程的系数，重复求解方程组，逐次逼近，最后求出满足要求的解。

- 迭代公式： $C\left(\gamma\left(A^{(k)}\right)\right) A^{(k+1)} = F$

$F$ ：方程中的已知量，包括电流密度和一类边界项

$C$ ：是  $\gamma$  的函数， $\gamma$  是  $B$  的函数，也就是  $A$  的函数



## 2.7 非线性代数方程组的解法

---

● 迭代过程:  $C\left(\gamma\left(A^{(k)}\right)\right) A^{(k+1)} = F$

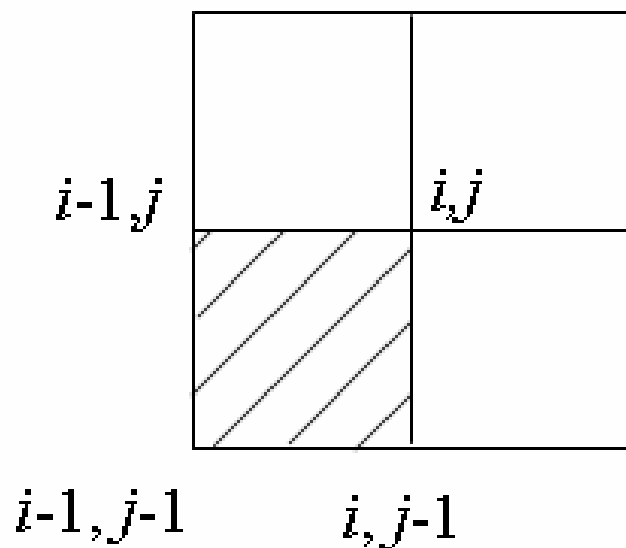
- 1) 外迭代过程: 由  $A^{(k)}$  算出  $B$  和相应的  $\gamma^{(k)} = \gamma(x, y, A^{(k)})$ , 重新算出方程组的系数, 准备进行另一轮计算。
- 2) 内迭代过程: 以  $A^{(k)}$  值做初值, 按调整后的系数矩阵, 解线性代数方程组。





## 2.7 非线性代数方程组的解法

- 如何由节点参数  $A$  求网格参数  $B$ ?



$$\begin{aligned} B_x^{(k)} &= \frac{1}{2} \left( \frac{A_{i,j} - A_{i,j-1}}{h} + \frac{A_{i-1,j} - A_{i-1,j-1}}{h} \right) \\ &= \frac{1}{2h} (A_{i,j} - A_{i,j-1} + A_{i-1,j} - A_{i-1,j-1}) \end{aligned}$$

$$B_y^{(k)} = -\frac{1}{2h} (A_{i,j} - A_{i-1,j} + A_{i,j-1} - A_{i-1,j-1})$$

$$\begin{aligned} B^{(k)} &= \sqrt{B_x^{(k)2} + B_y^{(k)2}} \\ &= \frac{1}{2h} \left[ (A_{i,j} - A_{i,j-1} + A_{i-1,j} - A_{i-1,j-1})^2 + (A_{i,j} - A_{i-1,j} + A_{i,j-1} - A_{i-1,j-1})^2 \right]^{1/2} \end{aligned}$$

非线性代数方程组逐次线性化求解具体步骤：

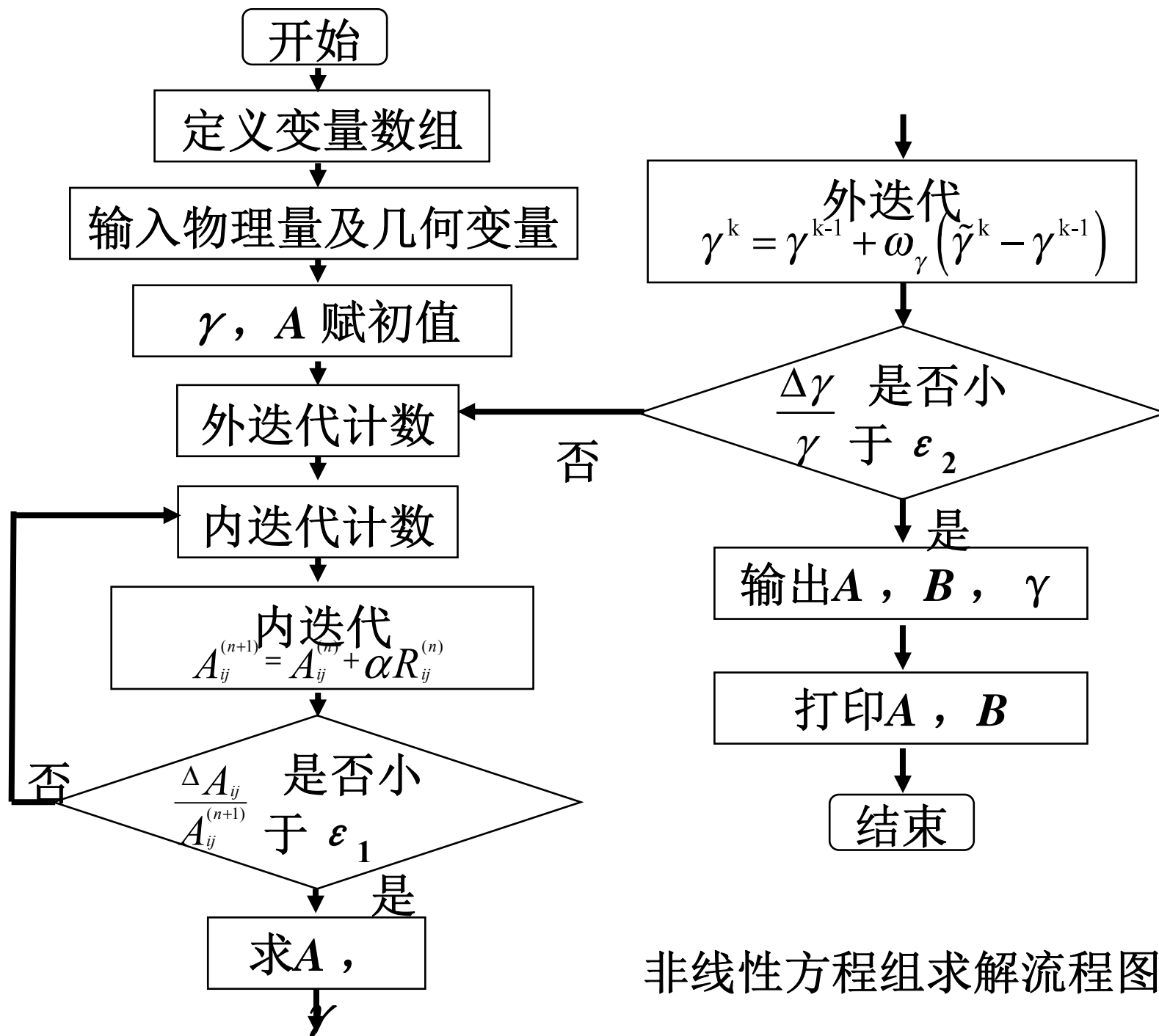
- 1) 对所有网格赋初值  $A_{ij}^{(0)}$  和  $\gamma_{ij}^{(0)}$ ；
- 2) 用超松驰迭代法解线性方程组，得到第一次内迭代解  $A_{ij}^{(1)}$ ；
- 3) 根据  $A_{ij}^{(1)}$  计算各网格的  $B_{ij}^{(1)}$ ，由磁化曲线求各网格的  $\tilde{\gamma}_{ij}^{(1)}$ ；
- 4) 求调整后的  $\gamma_{ij}^{(1)}$ ：

$$\gamma_{ij}^{(1)} = \gamma_{ij}^{(0)} + \omega(\tilde{\gamma}_{ij}^{(1)} - \gamma_{ij}^{(0)})$$

$\omega$ ：欠松驰迭代因子， $<1$ ，避免  $\gamma$  值迭代过程中解的振荡。

- 5) 由  $A_{ij}^{(1)}$  和  $\gamma_{ij}^{(1)}$  重新计算线性方程组，得到第二次内迭代近似解  $A_{ij}^{(2)}$ ；
- 6) 重复上述步骤，求出  $A_{ij}^{(3)}, A_{ij}^{(4)}, \dots$  在进行第  $k$  次外迭代时， $\gamma_{ij}^{(k)}$  由下式求出：
$$\gamma_{ij}^{(k)} = \gamma_{ij}^{(k-1)} + \omega(\tilde{\gamma}_{ij}^{(k)} - \gamma_{ij}^{(k-1)})$$

经过  $k$  次迭代，满足迭代要求的计算精度  $\varepsilon$  时迭代过程可以结束。



非线性方程组求解流程图



### 2.8 场强与电磁积分量的计算

#### ● 场强计算

$$\begin{aligned} \mathbf{E} &= -\nabla \Phi_e = -\left( \frac{\partial \Phi}{\partial x} \bar{e}_x + \frac{\partial \Phi}{\partial y} \bar{e}_y \right) = -\left( \frac{\Phi_1 - \Phi_3}{2h} \bar{e}_x + \frac{\Phi_2 - \Phi_4}{2h} \bar{e}_y \right) \\ \mathbf{H} &= -\nabla \Phi = -\left( \frac{\partial \Phi}{\partial x} \bar{e}_x + \frac{\partial \Phi}{\partial y} \bar{e}_y \right) = -\left( \frac{\Phi_1 - \Phi_3}{2h} \bar{e}_x + \frac{\Phi_2 - \Phi_4}{2h} \bar{e}_y \right) \\ \mathbf{B} &= \nabla \times \mathbf{A} = \frac{\partial A}{\partial y} \bar{e}_x - \frac{\partial A}{\partial x} \bar{e}_y = \left( \frac{A_2 - A_4}{2h} \bar{e}_x - \frac{A_1 - A_3}{2h} \bar{e}_y \right) \end{aligned}$$

#### ● 电磁积分量的计算

对于恒定电磁场：

$$\Phi = \int_s k a dS \quad \longrightarrow \quad \Phi = \sum_{i=1}^n k a_{\text{av}(i)} \Delta S_i$$

(其中 $k$ 为媒质特性参数， $a$ 为场量， $a_{\text{av}(i)}$ 表示在 $\Delta S_i$ 中场强的平均值)



### 有限差分法小结

有限差分法适用于解边界简单，形状规则的场域的电磁场问题。有限差分离散的主要方法有泰勒级数法及积分方程法。前者适用于线性媒质中求差分方程，后者主要用于非线性媒质及多媒质情况。

求解方程组方法：

- 1) 超松弛迭代法
- 2) 非线性方程组的逐次线性化方法

误差来源：

- 1) 离散误差，由截断误差、差分结构及网格步长( $h$ )决定。
- 2) 迭代误差，决定于迭代计算中误差控制值。

因此必须选择适当节点及合适的  $\varepsilon$ ，以保证对精度的要求。

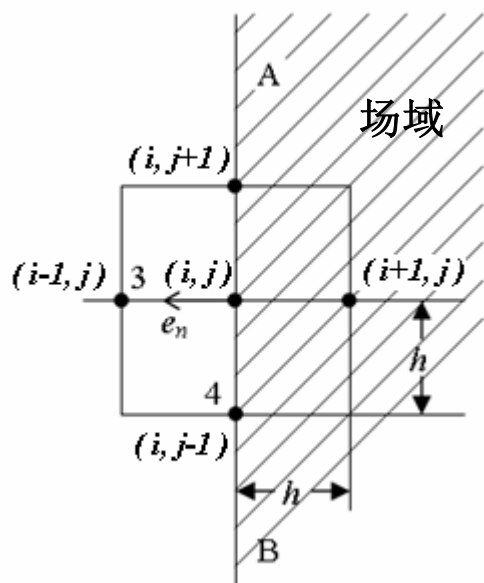
有限差分法的发展：时域有限差分法、频域有限差分法等。



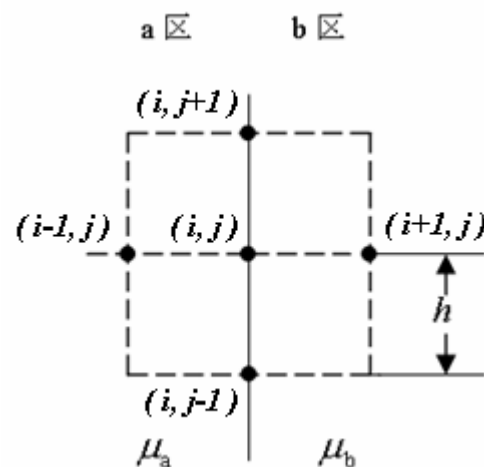
## 第2章 有限差分法

### 作业： 习题 2.4, 2.5, 2.6。

习题 2.4要求：对第一类边界条件，按边界与节点重合情况讨论；对第二类边界和媒质交界面条件，按以下情况讨论：

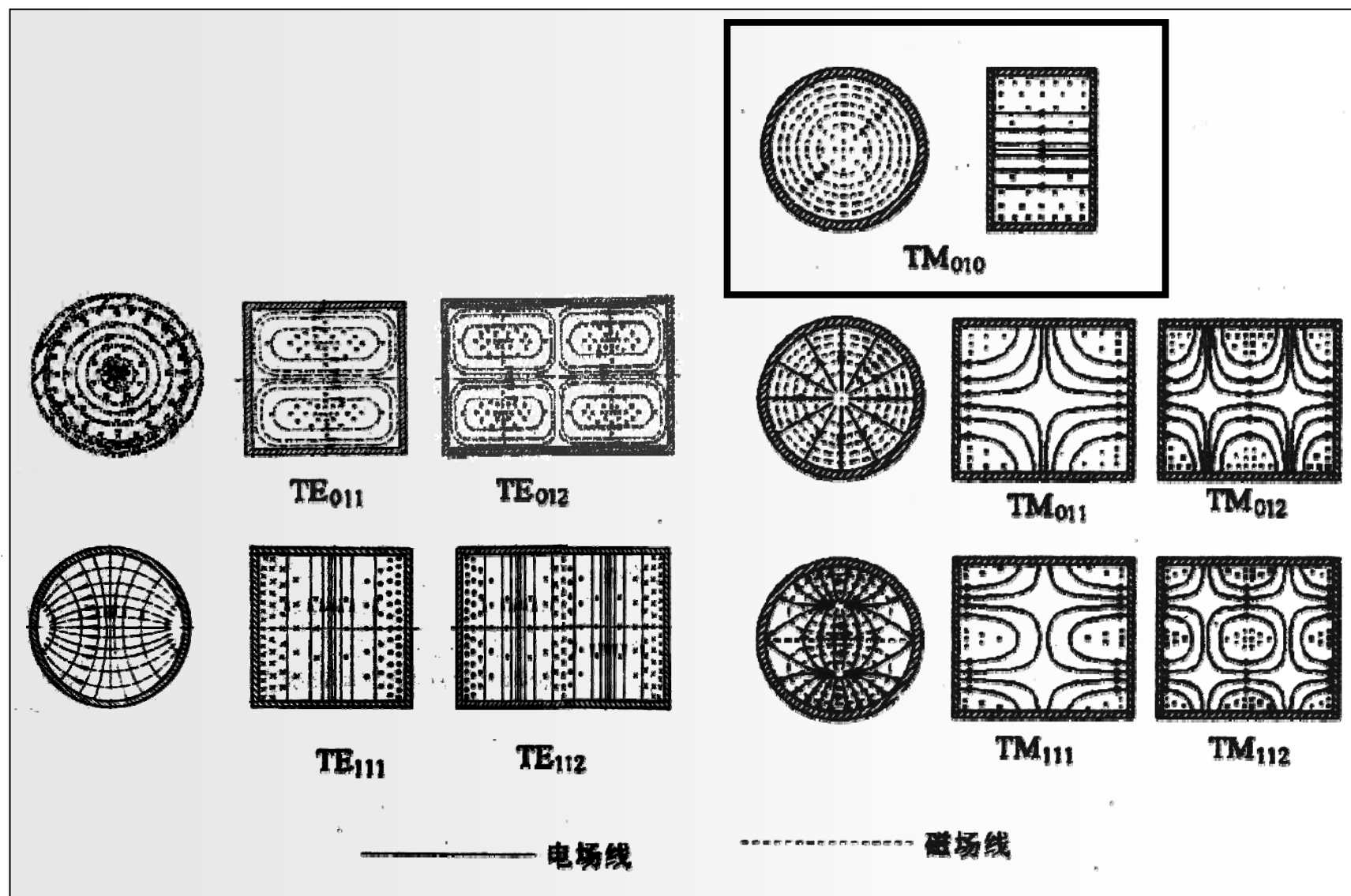


第二类边界： $\partial A / \partial n = c \neq 0$   
设左边区域中  $\gamma = \gamma_0$  ,  $J = 0$  ;  
右边区域中  $\gamma = \gamma_0$   $J \neq 0$  处处相同。



媒质交界面  
(设 **a** 区电流密度为 **J**(处处相同),  
**b**区为**0**)

**2.4题要求写出具体公式并比较两种方法的结果。**



[返回](#)

圆柱腔场分布示意图



## 补充：磁铁的磁化曲线

- 磁性材料分类：软磁、硬磁。（按磁化难易程度）
  - 软磁：矫顽力 $H_c$ 较小的磁性材料。
  - 用来制造电磁铁的导磁体一般都属于软磁材料。
  - 对于直流电磁铁：多采用低碳钢、工程纯铁、铸铁。
- 磁化曲线
  - 原始磁化曲线（或称为初始磁化曲线）：从未磁化到饱和磁化的这段磁化曲线。
  - 磁滞现象：当铁磁物质在磁化状态下逐渐减小其外磁场强度 $H$ ，这时 $B$ 不再沿着原来的磁化曲线而变化，而是沿着另外一条曲线变化。
  - 磁滞回线：铁磁物质在磁场强度 $+H_m$ 和 $-H_m$ 之间交变反复磁化，则 $B$ 和 $H$ 之间关系变成一条回线。
  - 基本磁化曲线：将各条对称磁滞回线的顶点所连成的一条 $B$ - $H$ 曲线。
  - 在电磁场数值计算中，是根据基本磁化曲线来计算的。参考书和手册中所列的磁化曲线，一般都是指基本磁化曲线。

